



LLUVIAS



CENEPRED

Centro Nacional de Estimación, Prevención y
Reducción del Riesgo de Desastres

**ESCENARIOS DE RIESGO POR LLUVIAS
PARA EL VERANO 2026**
(Basado en el Informe Técnico N° 09-2025/SENAMHI-DMA-SPC)

Agosto 2025

ESCENARIOS DE RIESGO POR LLUVIAS PARA EL VERANO 2026
Basado en el Informe Técnico N° 09-2025/SENAMHI-DMA-SPC

Elaborado por el Centro Nacional de Estimación, Prevención y Reducción del Riesgo de Desastres (CENEPRED).

Dirección de Gestión de Procesos. Subdirección de Gestión de la Información. CENEPRED, 2024.

Av. Del Parque Norte N° 829 – 833, San Isidro - Lima – Perú

Teléfono: 2013-550,

Correo electrónico: info@cenepred.gob.pe

Página web: <https://www.gob.pe/cenepred>

CENEPRED

Gral. (r) Rolando Gustavo Capucho Cárdenas
Jefe del CENEPRED

CrnI. (r) Walter Martin Becerra Noblecilla
Director de la Dirección de Gestión de Procesos

Ing. Alfredo Zambrano Gonzáles
Subdirector de Gestión de la Información

Elaborado por:

Ing. Karina Obregón Acevedo
Especialista de la Subdirección de Gestión de la Información

Ing. Yessenia Cruz Castillo
Analista de la Subdirección de Gestión de la Información

TABLA DE CONTENIDO

INTRODUCCIÓN	3
1 OBJETIVO.....	4
2 METODOLOGÍA PARA LA DETERMINACIÓN DEL ESCENARIO DE RIESGO.....	4
3 PERSPECTIVAS A NIVEL NACIONAL.....	4
3.1 Pronóstico de lluvias para el verano 2026 (enero - marzo 2026)	4
3.2 Perspectivas de las condiciones El Niño y La Niña para el verano 2026 (diciembre 2025-enero 2026)	6
3.3 Pronóstico hidrológico estacional (agosto 2025 – diciembre 2026).....	6
4 ZONAS Y PUNTOS CRÍTICOS POR MOVIMIENTOS EN MASA E INUNDACIONES	8
4.1 Movimientos en masa.....	8
4.2 Inundaciones	9
5 ESCENARIO DE RIESGO POR MOVIMIENTOS EN MASA.....	10
5.1 Susceptibilidad por movimientos en masa ante el pronóstico de lluvias para el verano 2026	10
5.2 Identificación de elementos expuestos a movimientos en masa	11
5.3 Determinación del escenario de riesgo por movimientos en masa	11
6 ESCENARIO DE RIESGO POR INUNDACIONES	14
6.1 Susceptibilidad por inundaciones ante el pronóstico de lluvias para el verano 2026	14
6.2 Identificación de los elementos expuestos a inundaciones	16
6.3 Determinación del escenario de riesgo por inundaciones	16
7 CONCLUSIONES.....	19
8 RECOMENDACIONES	20

INTRODUCCIÓN

El CENEPRED, entidad a cargo de los procesos de estimación, prevención, reducción del riesgo de desastres, así como del proceso de reconstrucción, en cumplimiento de las funciones otorgadas por la Ley N° 29664 y su Reglamento, ha elaborado el presente documento denominado “Escenarios de riesgo por lluvias para el verano 2026”. Este se basa en el Informe Técnico N°09-2025/SENAMHI-DMA-SPC, el cual presenta las probabilidades de lluvias previstas para el verano 2026 por el Servicio Nacional de Meteorología e Hidrología (SENAMHI), así como en las perspectivas océano-atmosféricas anunciadas recientemente en el Comunicado Oficial ENFEN N°12-2024¹ por la Comisión Multisectorial encargada del Estudio Nacional del Fenómeno El Niño (ENFEN).

La temporada de lluvias o periodo lluvioso en nuestro país se desarrolla entre los meses de setiembre a abril, presentándose la mayor cantidad de precipitaciones durante los meses de verano (enero a marzo). La intensidad de las lluvias estará sujeta al comportamiento del océano y la atmósfera, ocasionando cantidades superiores o inferiores a sus valores normales, pudiendo presentar situaciones extremas en un determinado espacio y tiempo.

El presente escenario de riesgo focaliza el análisis en las áreas donde se prevé superávit de lluvias, siendo más probable la presencia de inundaciones, deslizamientos, huaycos u otros tipos de movimiento en masa, pudiendo generar daños y/o pérdidas en la población y sus medios de vida, así como en su patrimonio y del Estado.

El resultado obtenido determina una aproximación al riesgo existente en los ámbitos distritales, con el propósito de brindar insumos técnicos que le permitan a las autoridades regionales y/o locales planificar y ejecutar acciones orientadas a la gestión prospectiva, correctiva y reactiva con el fin de reducir la vulnerabilidad y salvaguardar a la población expuesta.

¹ Publicado el 15 de agosto de 2025.

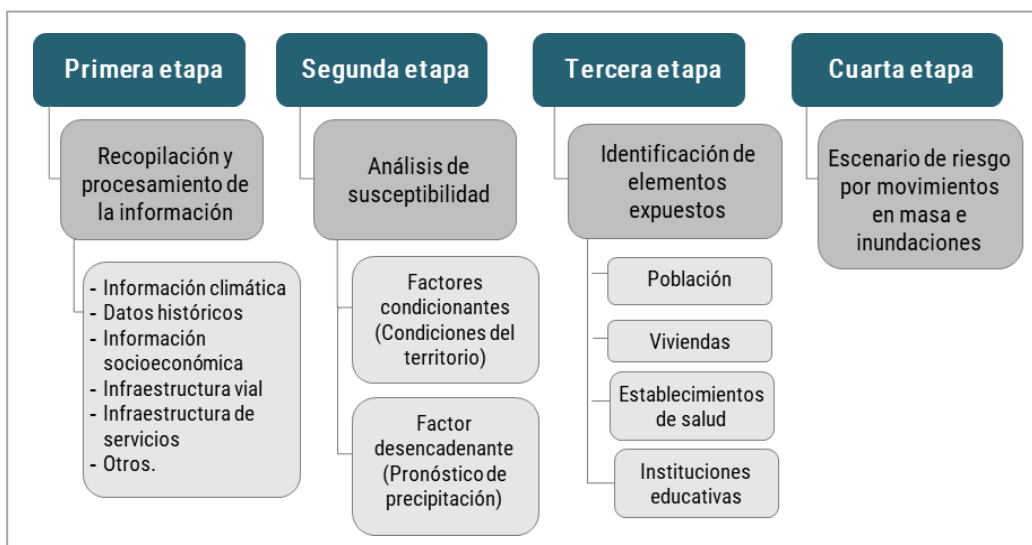
1 OBJETIVO

Identificar la posible afectación que puede sufrir la población ante las condiciones de lluvias previstas para el verano 2026, en el ámbito nacional.

2 METODOLOGÍA PARA LA DETERMINACIÓN DEL ESCENARIO DE RIESGO

La metodología utilizada para la elaboración de los escenarios de riesgo por lluvias ha considerado cuatro etapas, tal como muestra la Figura 1.

Figura 1. Flujograma de la metodología para la elaboración de los escenarios de riesgo



Fuente: CENEPRED

3 PERSPECTIVAS A NIVEL NACIONAL

3.1 Pronóstico de lluvias para el verano 2026 (enero - marzo 2026)

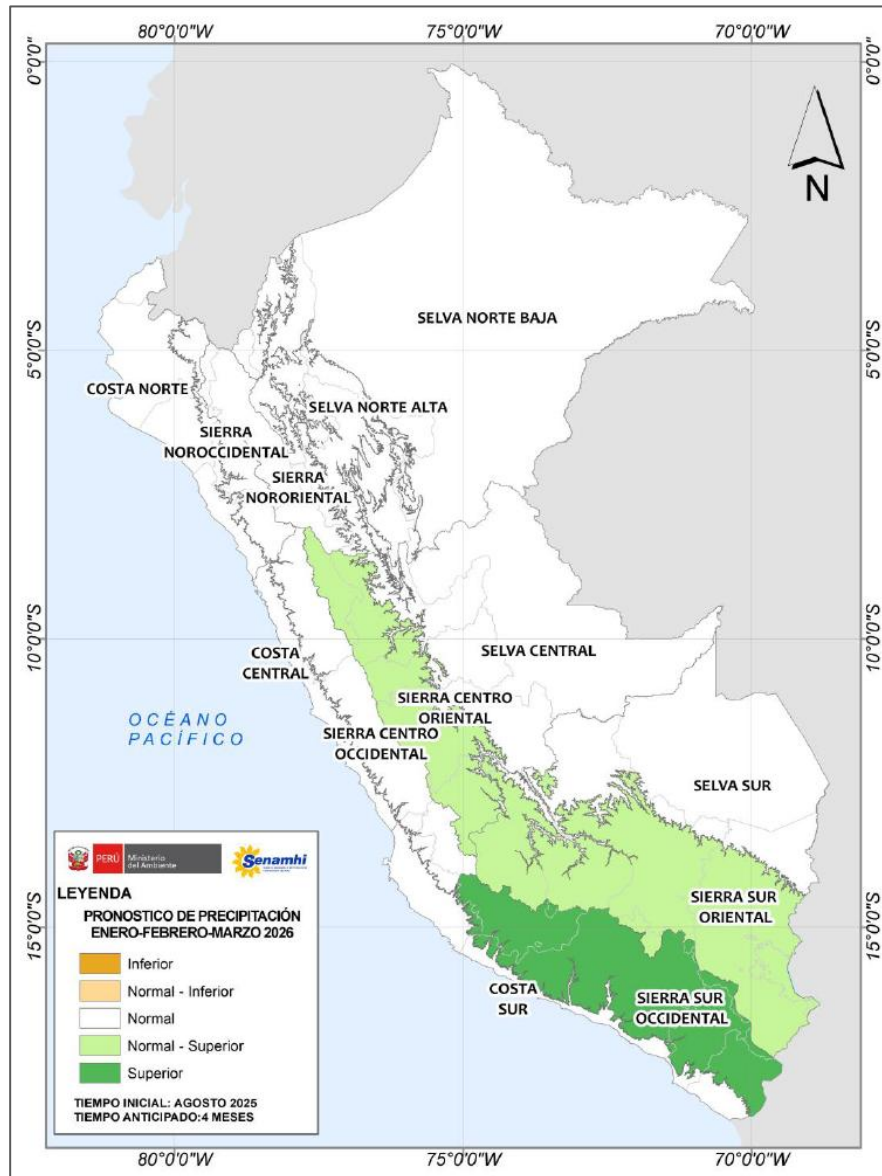
El pronóstico de lluvias para el verano 2026² (SENAMHI) estima lluvias entre normales y sobre lo normal para la sierra centro oriental y sierra sur. En la costa valores normales, sin descartar lluvias puntuales moderadas como parte de la variabilidad estacional. En el resto del país, se esperan condiciones normales. No obstante, debe tener en cuenta que las condiciones de lluvia estimadas probabilísticamente en el presente mes (agosto), con proyección al verano 2026, presentan un nivel significativo de incertidumbre debido al tiempo de anticipación.

La Figura 2 muestra la distribución de las probabilidades de lluvias para dicho periodo, sectorizado por regiones territoriales de similares características climáticas³. Las tonalidades verdes indican un escenario de lluvias de superior a lo normal y de normal a superior, las anaranjadas indican inferiores a lo normal y de normal a inferior, y el color blanco un escenario de lluvias dentro de lo normal (Tabla 1).

² Informe Técnico N°09-2025/SENAMHI-DMA-SPC (SENAMHI).

³ Las regiones corresponden a la sectorización climática del territorio peruano realizada por el SENAMHI (Nota Técnica N° 001-2020/SENAMHI/DMA/SPC).

Figura 2. Pronóstico de lluvias por regiones para el verano 2026



Fuente: SENAMHI

Tabla 1. Pronóstico probabilístico de la precipitación, por regiones a nivel nacional

ESCENARIO	DESCRIPCIÓN
Inferior	<i>Inferior a lo Normal</i>
Normal - Inferior	<i>Escenario de lluvias entre Normal e Inferior a lo Normal: cuando las probabilidades del escenario Normal e Inferior son similares.</i>
Normal	<i>Escenario de lluvias Normal</i>
Normal - Superior	<i>Escenario de lluvias entre Normal y Superior lo Normal: cuando las probabilidades del escenario Normal y Superior son similares.</i>
Superior	<i>Superior a lo Normal</i>

Fuente: SENAMHI

3.2 Perspectivas de las condiciones El Niño y La Niña para el verano 2026 (diciembre 2025-enero 2026)

La Comisión Multisectorial del ENFEN (Comunicado Oficial ENFEN N°09-2025⁴), con base al análisis de las condiciones oceánicas y atmosféricas observadas, y de los pronósticos de los modelos climáticos nacionales e internacionales, mantiene el Estado del sistema de alerta ante El Niño Costero y La Niña Costera en “No Activo” para la región Niño 1+2, que abarca la costa norte y centro del país. Se estima que la condición neutra continúe hasta abril de 2026, proyectándose una probabilidad del 65% que dicha condición persista para el verano 2026, y un 25 % de condiciones cálidas. Por otro lado, en el Pacífico central (región Niño 3.4, Figura 1) se prevé que la condición neutra continúe en los próximos meses, siendo más probable que dicha condición se extienda durante el verano de 2026 (61 %).

Tabla 2. Probabilidades estimadas de las magnitudes de El Niño y La Niña para el verano diciembre 2025-marzo 2026

	Magnitud del evento	Probabilidad de ocurrencia
	diciembre 2025 - marzo 2026	(%)
El Niño y La Niña costeros (región Niño 1+2, frente a la costa norte y centro del Perú)	La Niña Fuerte	0
	La Niña Moderada	1
	La Niña Débil	9
	Neutro	65
	El Niño Débil	21
	El Niño Moderado	3
	El Niño Fuerte	1
	El Niño Extraordinario	0
	El Niño y La Niña en el Pacífico central (región Niño 3.4)	Magnitud del evento
diciembre 2025 - marzo 2026		(%)
La Niña Fuerte		0
La Niña Moderada		1
La Niña Débil		25
Neutro		61
El Niño Débil		12
El Niño Moderado		1
El Niño Fuerte		0
El Niño Muy Fuerte	0	

Fuente: ENFEN

3.3 Pronóstico hidrológico estacional (agosto 2025 – diciembre 2026)

El SENAMHI señala en el pronóstico hidrológico estacional a nivel nacional para el periodo agosto 2025 – diciembre 2026⁵, lo siguiente:

Región Hidrográfica del Pacífico

En la zona norte de la región del Pacífico, se prevé que los caudales mensuales presenten un comportamiento hidrológico que varíe entre “normal” a “sobre lo normal”. La zona centro y sur de la región del Pacífico, presentarían un comportamiento entre “muy debajo de lo normal” a “sobre lo normal”

⁴ Publicado el 15 de agosto de 2025.

⁵ Reporte N° 08-2025/ SENAMHI-DHI-SPH

Región Hidrográfica del Amazonas

Se presentaría un comportamiento hidrológico variable entre “normal” a “sobre lo normal”.

Región Hidrográfica del Titicaca

Se presentaría un comportamiento hidrológico variable entre “debajo de lo normal” a “sobre lo normal”.

Estas perspectivas hidrológicas son una referencia del promedio mensual del caudal del periodo. La Tabla 3 presenta las perspectivas de las condiciones hidrológicas para el periodo setiembre 2024 – enero 2025.

Tabla 3. Perspectivas de las condiciones hidrológicas para el periodo setiembre 2024 – enero 2025⁶

Región	Estación	Río	Rango pronosticado durante el periodo
Pacífico	El Tigre	Tumbes	normal
	El Ciruelo	Chira	normal a sobre lo normal
	Cirato	Ch. Lambayeque	normal
	Yonán	Jequetepeque	normal a sobre lo normal
	Condorcerro	Santa	debajo de lo normal a normal
	Obrajillo	Chillón	normal
	Chosica	Rímac	normal
	La Capilla	Mala	normal a sobre lo normal
	Letrayoc	Pisco	muy debajo de lo normal a normal
	Ocoña	Ocoña	normal
Titicaca	Pte. Huancané	Huancané	normal a sobre lo normal
	Pte. Ramis	Ramis	normal
	Pte. Coata-Unocolla	Coata	debajo de lo normal a normal
	Pte. llave	llave	debajo de lo normal a normal
Amazonas	Tamshiyacu	Amazonas	normal a sobre lo normal
	Tocache	Huallaga	normal a sobre lo normal
	Pisac	Vilcanota	normal
	Cunyac	Apurímac	normal

Fuente: SENAMHI (agosto 2025)

⁶ Nota: Anomalías de caudal simuladas entre -100% a -50% corresponden a “muy debajo de lo normal”, entre -50% a -25% como “debajo de lo normal”, entre -25% a 25% como “normal”, entre 25% a 50% como “sobre lo normal”, entre 50 % a 100 % como “muy sobre lo normal” y mayor a 100% como “alto”.

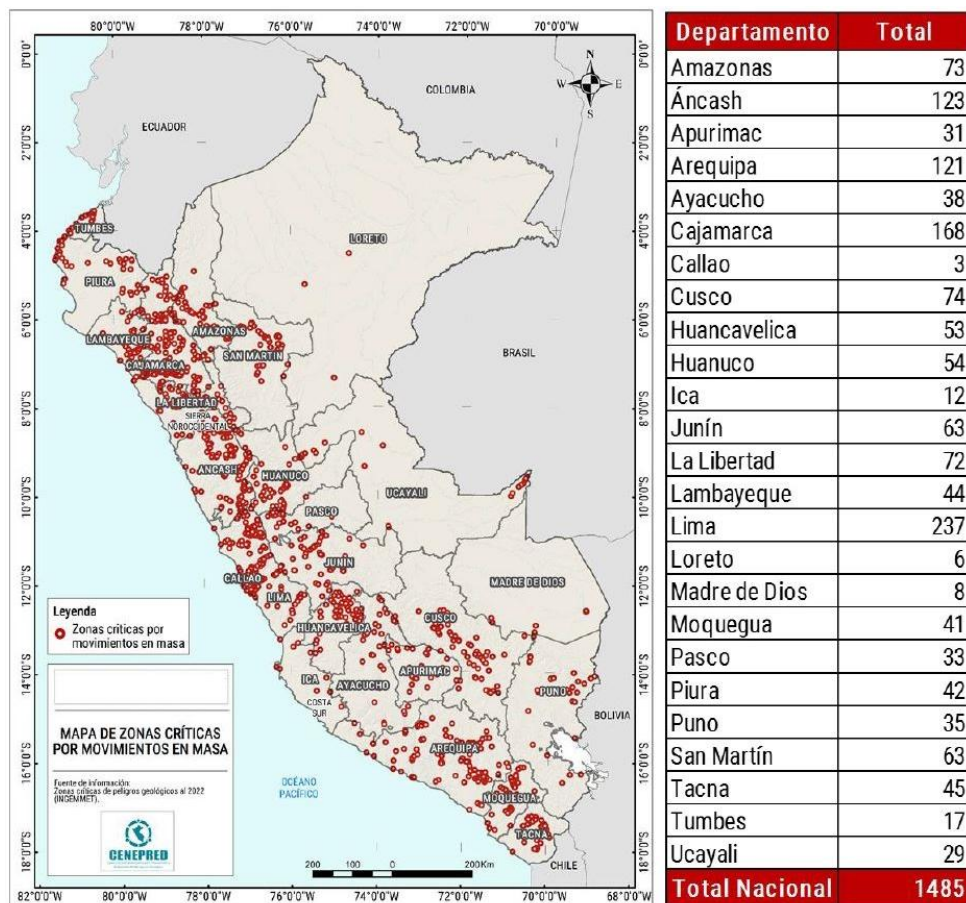
4 ZONAS Y PUNTOS CRÍTICOS POR MOVIMIENTOS EN MASA E INUNDACIONES

4.1 Movimientos en masa

De acuerdo a la base de datos del INGEMMET se tiene identificado un total de 1 485 zonas críticas por la ocurrencia (recientes y antiguas) de procesos de movimientos en masa. Los tipos identificados principalmente son deslizamientos, derrumbes, caídas de rocas, y flujos de detritos (huaycos, flujos de lodo, avalanchas de rocas o detritos), distribuidos en el ámbito nacional (Figura 3).

De acuerdo a la Figura 3, los departamentos donde se han registrado el mayor número de zonas críticas por eventos de movimientos en masa son Lima (237), Cajamarca (168), Áncash (123) y Arequipa (121).

Figura 3. Zonas críticas por movimientos en masa



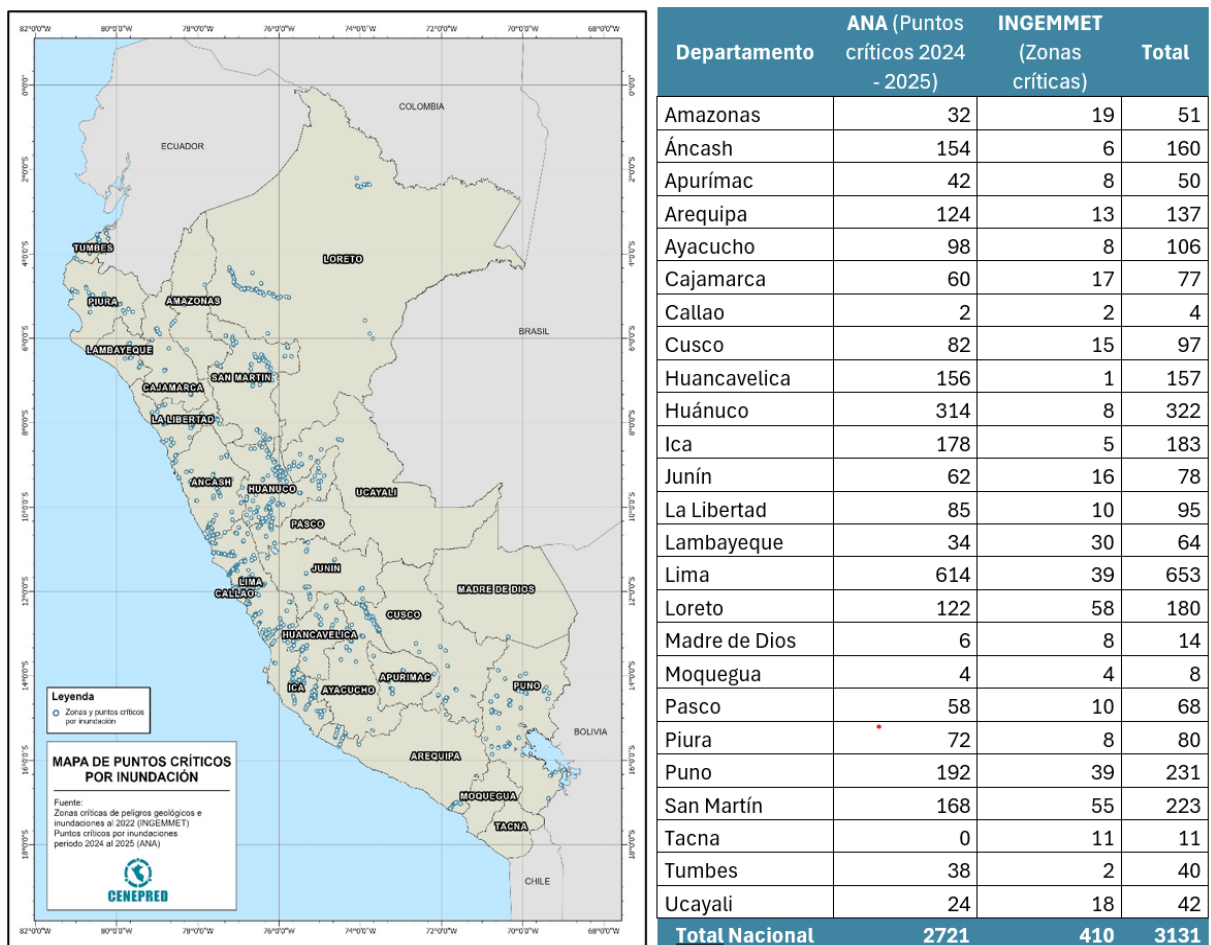
Fuente: Elaborado con información del INGEMMET (2023)

4.2 Inundaciones

A nivel nacional, existe un total de 3 131 lugares expuestos a la ocurrencia de inundaciones considerados como críticos (Figura 4), de los cuales 2 721 fueron identificados por la Autoridad Nacional del Agua (ANA) y 410 fueron identificados por el INGEMMET (Figura 4).

Según la Figura 4, en general, los departamentos con el mayor número de puntos y zonas críticas de inundaciones son Lima (653), Huánuco (322), Puno (231) y San Martín (223).

Figura 4. Puntos y zonas críticas por inundación



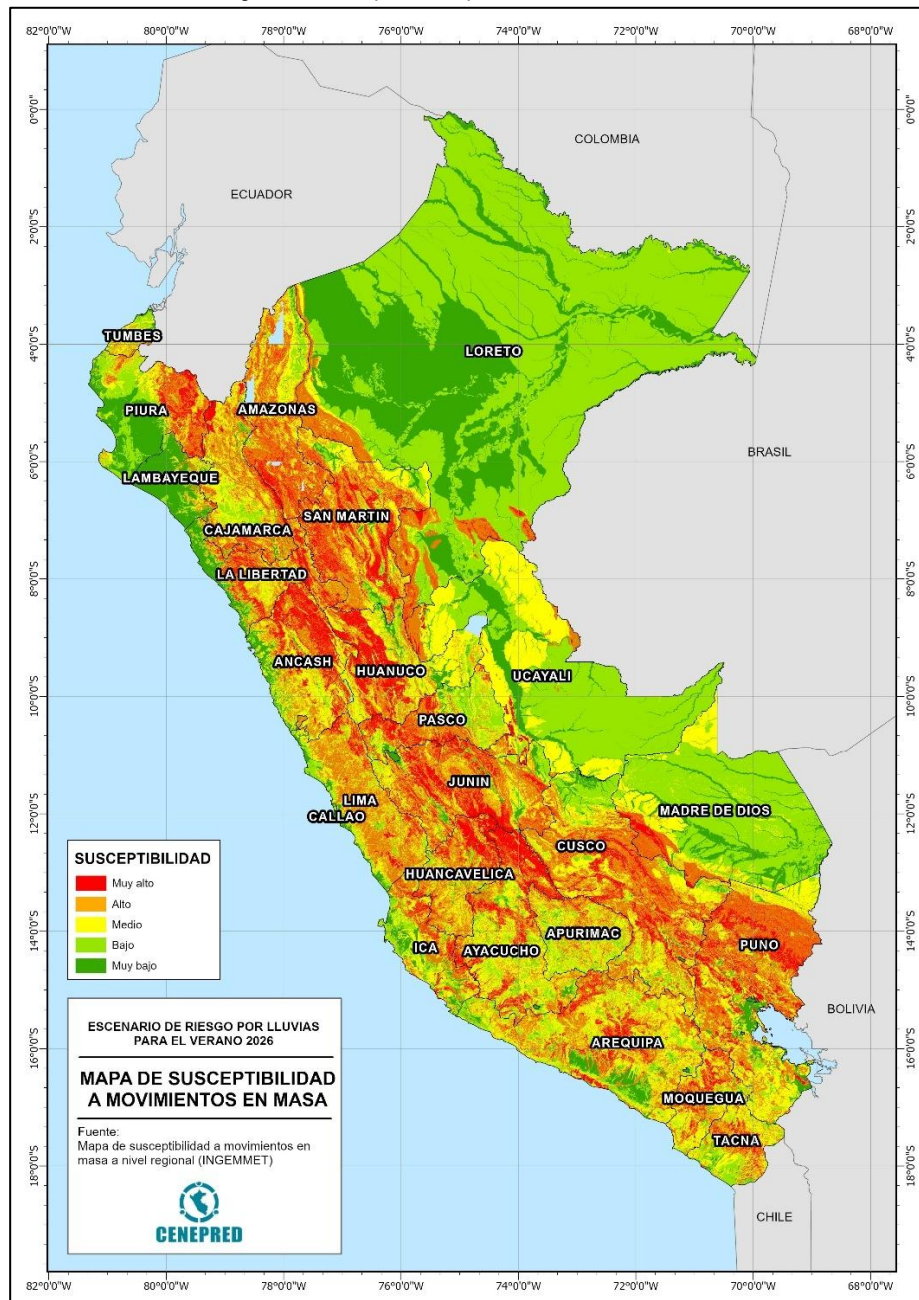
Fuente: ANA & INGEMMET (2025)

5 ESCENARIO DE RIESGO POR MOVIMIENTOS EN MASA

5.1 Susceptibilidad por movimientos en masa ante el pronóstico de lluvias para el verano 2026

Para la identificación de los ámbitos con mayor predisposición a la ocurrencia de huaycos, deslizamientos, caídas u otro tipo de movimientos en masa, es necesario conocer las características físicas del territorio. Para ello se consolidó los mapas de susceptibilidad por movimientos en masa a nivel regional, elaborados por el INGENMET (Figura 5).

Figura 5. Susceptibilidad por movimientos en masa



Nota: Los mapas de susceptibilidad por movimientos en masa, si bien identifican áreas donde se pueden generar potencialmente tales eventos, en ellos no figura la totalidad de zonas a ser afectadas, ni predicen cuando ocurrirán los procesos analizados (Ayala-Carcedo y Olcinas 2002).

Fuente: INGENMET

Los mapas de susceptibilidad por movimientos en masa fueron elaborados con base en los siguientes factores condicionantes del territorio: pendiente, geomorfología, litología, hidrogeología y cobertura vegetal. Las áreas de susceptibilidad muy alta y alta se caracterizan principalmente por presentar relieves montañosos, laderas de fuerte pendiente y escasa o nula cobertura vegetal.

Por otro lado, la probabilidad de que las lluvias puedan darse por encima de su patrón normal (superávit) en ciertas zonas del país anuncia la posible presencia de lluvias fuertes, que es un factor desencadenante para la ocurrencia de movimiento en masa, pudiendo traer consigo situaciones de riesgo para la población. Por esta razón, el presente escenario de riesgo focaliza el análisis en las áreas donde se prevé superávit de lluvias, delimitada de color negro en el mapa de escenario de riesgos por movimientos en masa ante el pronóstico de lluvias para el verano 2026 (Figura 6).

5.2 Identificación de elementos expuestos a movimientos en masa

Este análisis ha considerado como elementos expuestos: población, viviendas, establecimientos de salud e instituciones educativas. Para ello se ha utilizado la siguiente base de datos georreferenciada:

- Población y vivienda a nivel distrital del Censo de Población y Vivienda del año 2017, elaborado por el Instituto Nacional de Estadística e Informática (INEI).
- Establecimientos de salud del Registro Nacional de Instituciones Prestadoras de Servicios de Salud (RENIPRESS) del Ministerio de Salud, actualizada a junio 2024.
- Instituciones educativas del Ministerio de Educación, actualizada a junio 2024.

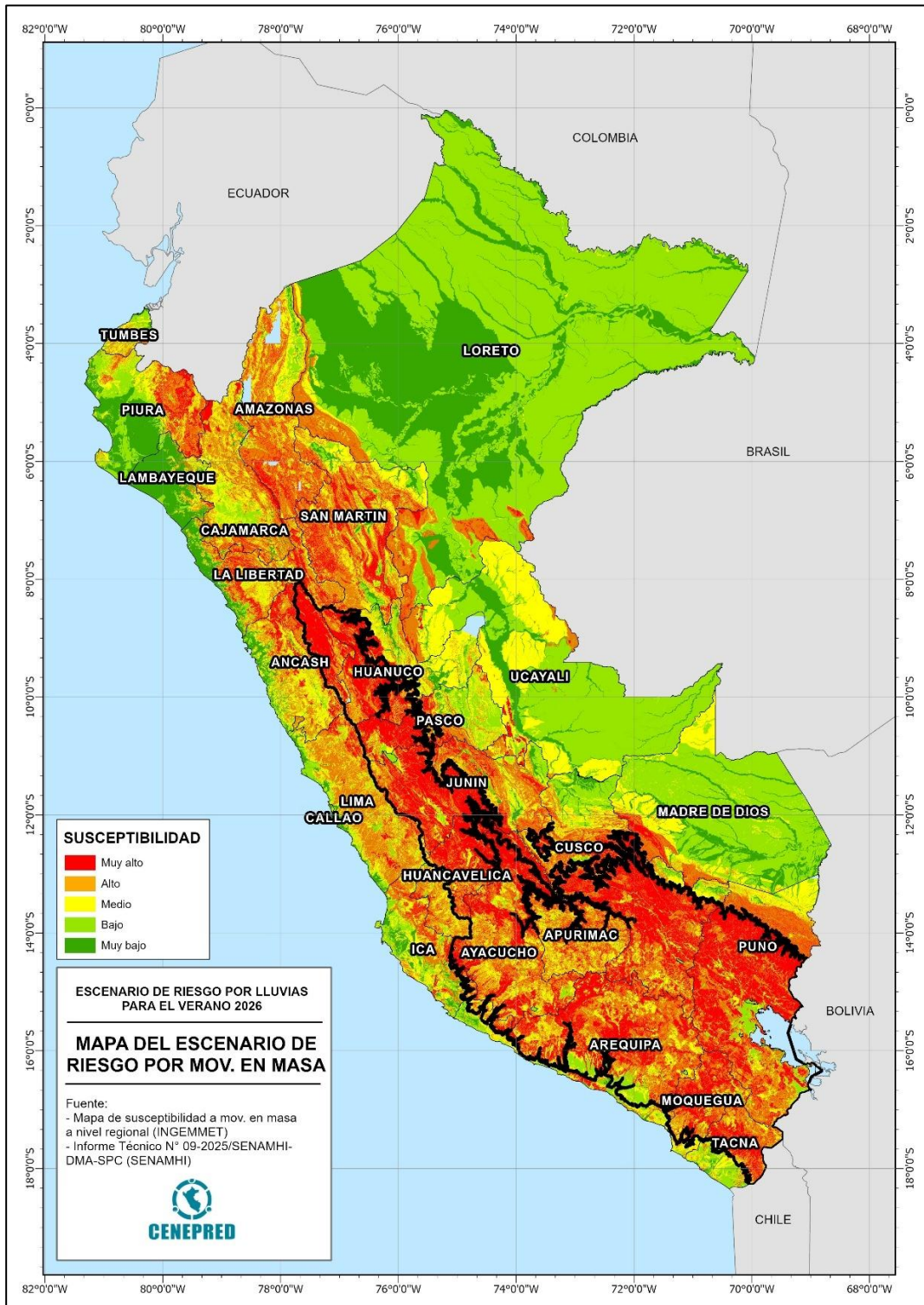
5.3 Determinación del escenario de riesgo por movimientos en masa

Con la información geoespacial mencionada en el párrafo anterior, se desarrolló el análisis de exposición mediante la superposición de las capas georreferenciadas, integrando los principales elementos expuestos previamente identificados sobre las áreas de susceptibilidad por movimientos en masa. Se priorizó los niveles de susceptibilidad alto y muy alto, con el propósito de identificar los posibles daños y/o pérdidas ante la ocurrencia de movimientos en masa.

De acuerdo con la Tabla 3 y Figura 7, existe 31 395 centros poblados con probabilidad de riesgo muy alto, los cuales comprenden un total de 1 784 104 personas, 864 815 viviendas, así como 1 647 establecimientos de salud y 10 655 instituciones educativas, y se encuentran distribuidos a nivel nacional. Entre los departamentos con mayor población se encuentran Cusco (355 362), Puno (203 790), Huánuco (194 336) y Áncash (183 975).

En este mismo escenario, Tabla 3 y Figura 8, existen 26 200 centros poblados con un nivel de riesgo alto, ubicados en el ámbito nacional. En la misma situación de riesgo se encuentran 2 237 488 personas, 963 113 viviendas, 2 230 establecimientos de salud y 11 523 instituciones educativas. Los departamentos con el mayor número de población expuesta a un nivel de riesgo alto son Cusco (500 074 personas), Puno (340 707 personas), Cajamarca (242 542) y Apurímac (191 401).

Figura 6. Mapa de Escenario de Riesgos por movimientos en masa ante el pronóstico de lluvias para el verano 2026



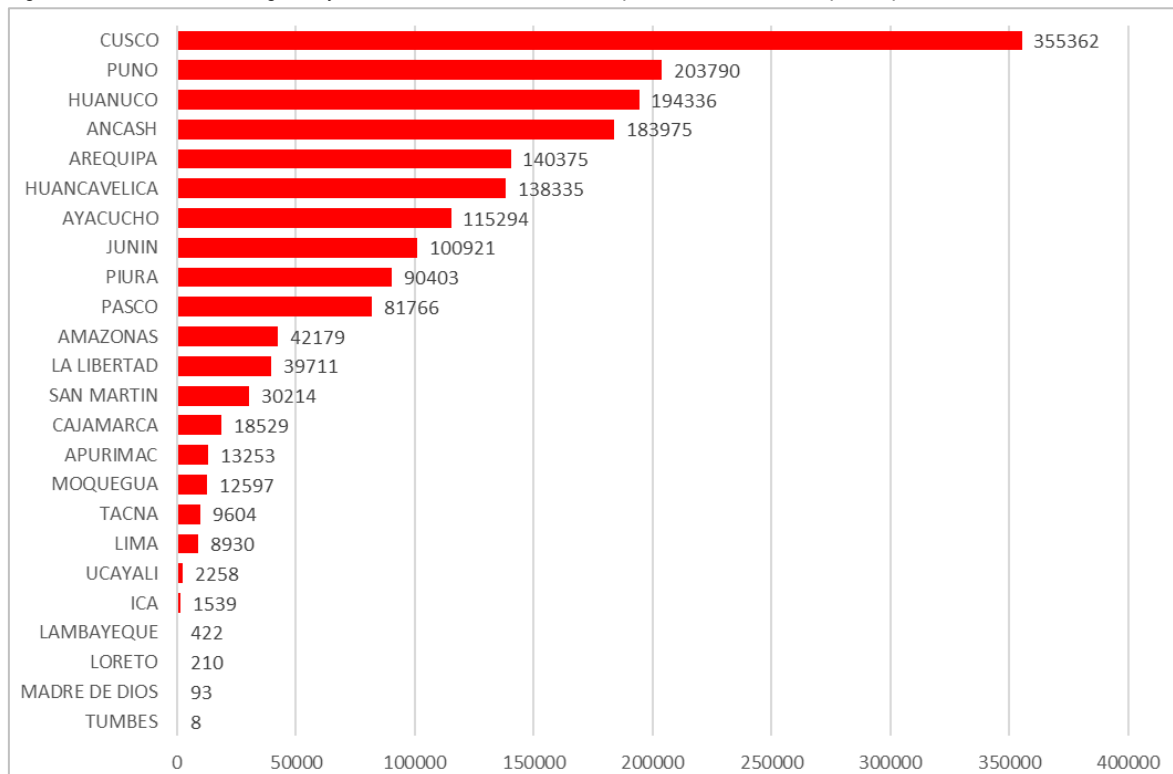
Fuente: CENEPRED

Tabla 3. Riesgo Muy Alto y Alto por movimientos en masa para el verano 2026 (enero a marzo), por departamentos.

Nivel de riesgo	MUY ALTO					ALTO				
	Departamento	Centros poblados	Población	Viviendas	Establec. Salud	Instituc. Educativas	Centros poblados	Población	Viviendas	Establec. Salud
AMAZONAS	865	42179	17859	69	319	1493	116003	46021	202	863
ANCASH	2986	183975	81931	148	1211	1562	71740	29812	54	430
APURIMAC	669	13253	9040	23	117	1863	191401	84325	268	990
AREQUIPA	1925	140375	82900	97	426	1683	96732	57628	52	339
AYACUCHO	3123	115294	71807	159	1043	2375	70486	42921	105	675
CAJAMARCA	235	18529	7022	33	140	1982	242542	96842	218	1686
CALLAO										
CUSCO	4515	355362	141158	175	1246	2462	500074	165440	430	1132
HUANCAVELICA	2743	138335	75134	214	1259	2155	57565	31322	94	590
HUANUCO	3582	194336	85684	145	1120	1370	72681	29998	59	326
ICA	61	1539	1007	1	11	235	16734	9785	16	62
JUNIN	1904	100921	51925	146	817	1183	74325	35280	110	625
LA LIBERTAD	622	39711	14308	22	214	1034	97804	36056	41	497
LAMBAYEQUE	5	422	128			2	20	1964	713	13
LIMA	528	8930	6305	23	112	1631	40500	23819	91	380
LORETO	4	210	49	1	3	30	3297	808	5	42
MADRE DE DIOS	1	93	26	1	2	11	1442	759	3	9
MOQUEGUA	611	12597	9766	26	123	356	15316	10006	29	83
PASCO	1564	81766	29865	130	460	504	38189	14949	60	232
PIURA	708	90403	29679	68	631	731	118803	39664	75	710
PUNO	4211	203790	132292	127	1129	2747	340707	179942	239	1416
SAN MARTIN	293	30214	9870	18	175	482	46264	16011	48	306
TACNA	222	9604	6415	17	74	230	9529	6290	23	57
TUMBES	2	8	13			11	7938	3099	2	15
UCAYALI	16	2258	632	4	21	50	5452	1623	6	45
Total	31 395	1 784 104	864 815	1 647	10 655	26 200	2 237 488	963 113	2 230	11 523

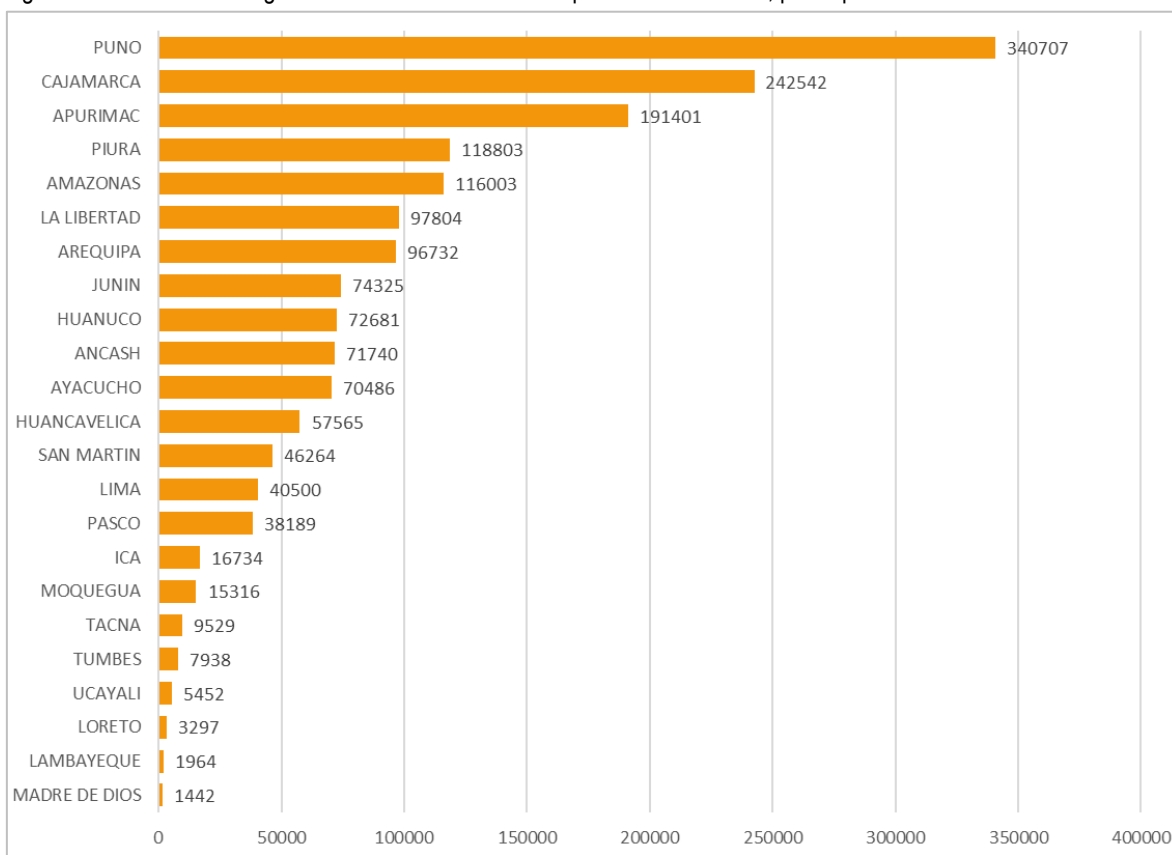
Fuente: CENEPRED. Basado en información de: INEI (Censo Nacional 2017), MINEDU (Escale, marzo 2024) y MINSA (RENIPRESS, marzo 2024).

Figura 7. Población en riesgo muy alto a movimientos en masa para el verano 2026, por departamentos



Fuente: CENEPRED.

Figura 8. Población en riesgo alto a movimientos en masa para el verano 2026, por departamentos



Fuente: CENEPRED.

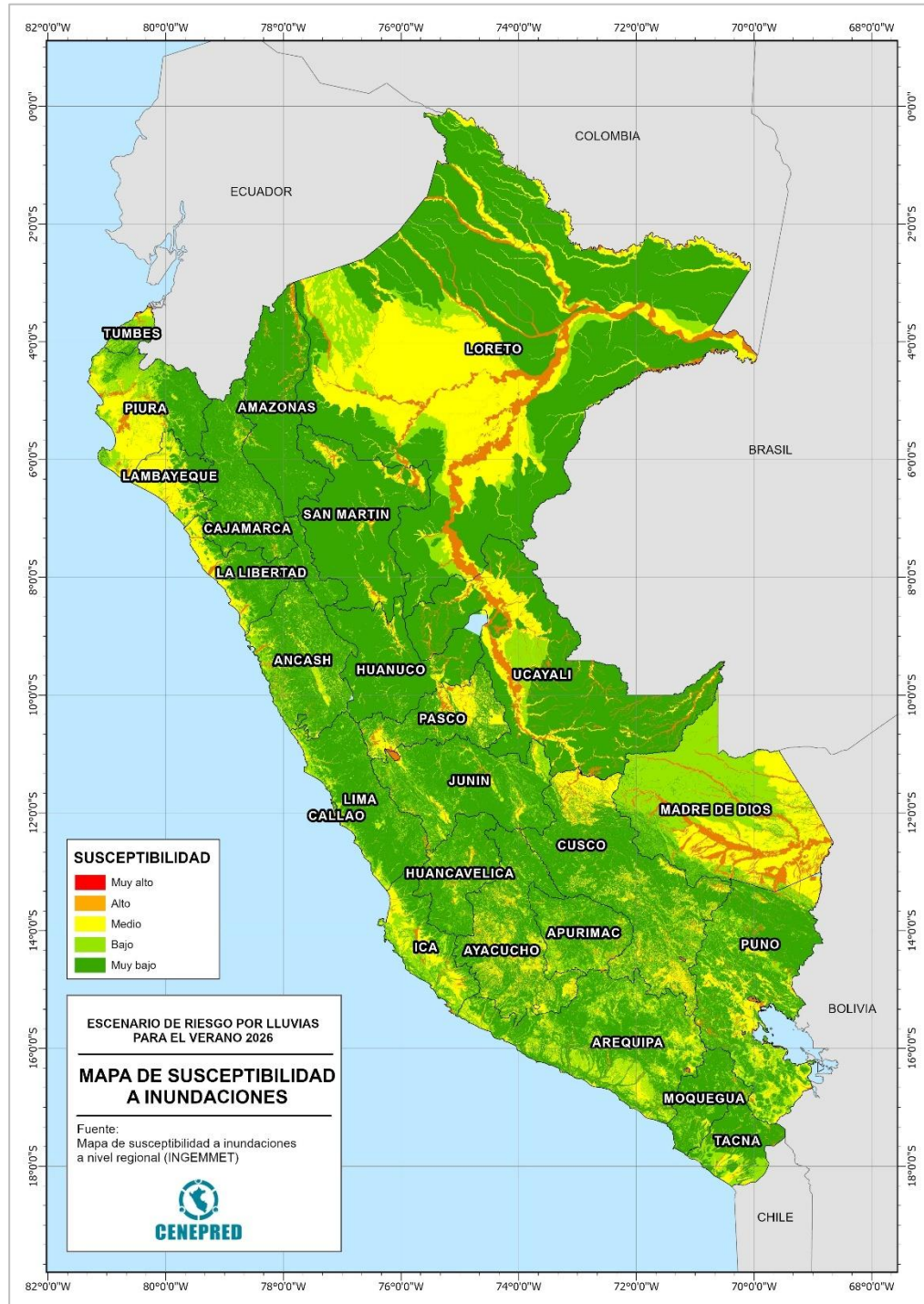
6 ESCENARIO DE RIESGO POR INUNDACIONES

6.1 Susceptibilidad por inundaciones ante el pronóstico de lluvias para el verano 2026

Para identificar las áreas de mayor predisposición a la ocurrencia de inundaciones se consolidó los mapas de susceptibilidad a inundaciones a nivel regional, elaborados por el INGEMMET, los cuales consideran como factores condicionantes: la geomorfología y la pendiente del terreno. Los ámbitos de susceptibilidad muy alta y alta se caracterizan principalmente por presentar llanuras aluviales, planicies, altiplanicies, terrazas aluviales, entre otros (Figura 9).

Por otro lado, la probabilidad de que las lluvias puedan darse por encima de su patrón normal (superávit) en ciertas zonas del país anuncia la posible presencia de lluvias fuertes, y por consiguiente el incremento de los caudales de los ríos que de sobrepasar sus cauces desencadenaría la ocurrencia de inundaciones, pudiendo traer consigo situaciones de riesgo para la población. Por esta razón, el presente escenario de riesgo focaliza el análisis en las áreas donde se prevé superávit de lluvias, delimitada de color negro en el mapa de escenario de riesgo por inundaciones ante el pronóstico de lluvias para el verano 2026 (Figura 10).

Figura 9. Mapa de susceptibilidad por inundaciones



Fuente: INGEMMET

6.2 Identificación de los elementos expuestos a inundaciones

Para realizar este análisis se ha considerado como elementos expuestos: población, vivienda, establecimientos de salud e instituciones educativas. Para ello se ha utilizado la siguiente base de datos georreferenciada:

- Población y vivienda a nivel distrital del Censo de Población y Vivienda del año 2017, elaborado por el Instituto Nacional de Estadística e Informática (INEI).
- Establecimientos de salud del Registro Nacional de Instituciones Prestadoras de Servicios de Salud (RENIPRESS) del Ministerio de Salud, actualizada a junio 2024.
- Instituciones educativas del Ministerio de Educación, actualizada a junio 2024.

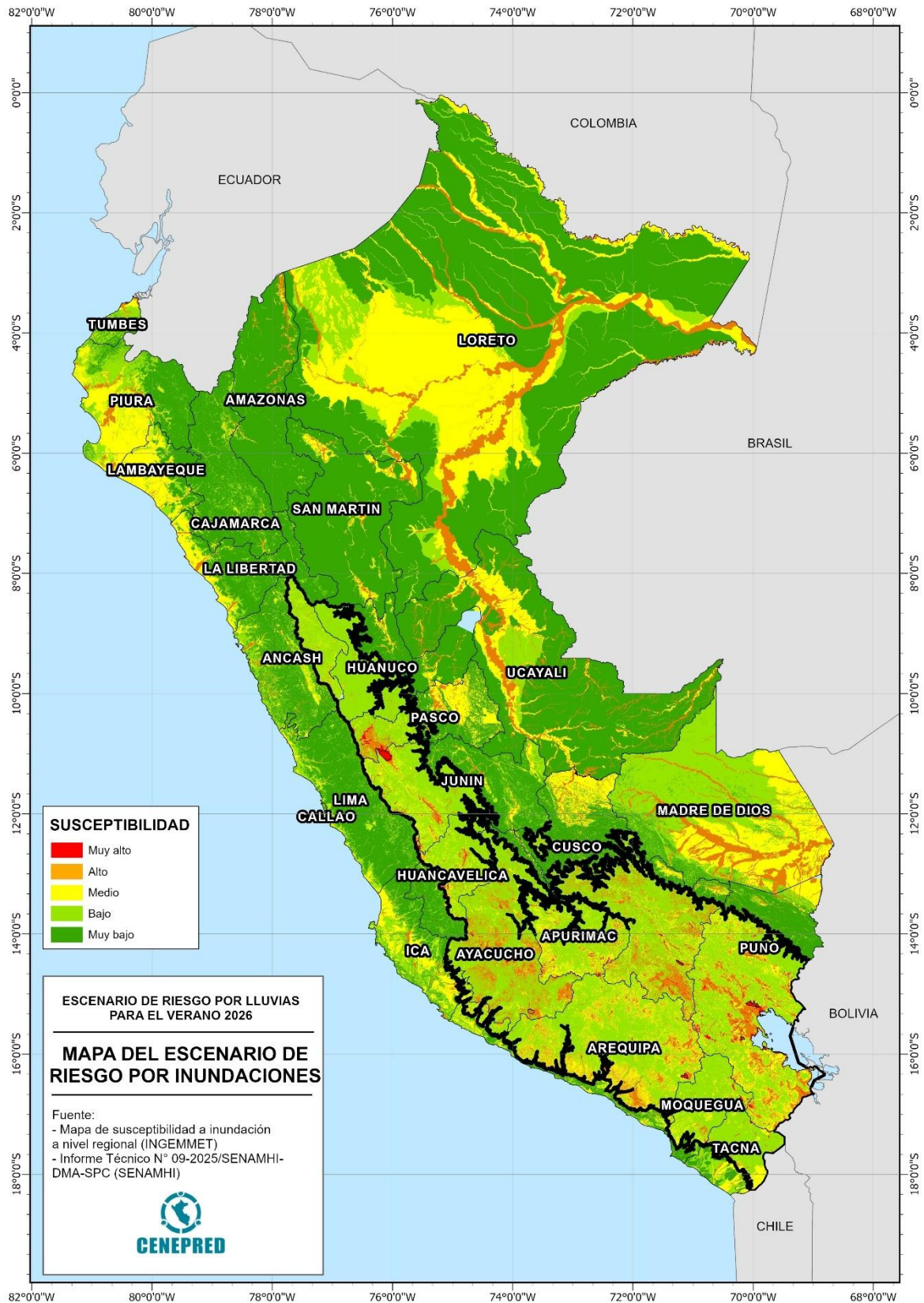
6.3 Determinación del escenario de riesgo por inundaciones

Con la información geoespacial mencionada en el párrafo anterior, se realizó el análisis de exposición, el cual consistió en superponer dichas capas de información sobre las áreas de susceptibilidad por inundaciones, priorizando los niveles alto y muy alto, con la finalidad de identificar los posibles efectos ante la ocurrencia de inundaciones.

Considerando las perspectivas de lluvias para el verano 2026 (enero – marzo) a nivel nacional, según la Tabla 4 y Figura 11, se estima un total de 2 028 centros poblados que estarían expuestos a un riesgo muy alto frente a la posible ocurrencia de inundaciones, así como 329 909 personas, 137 829 viviendas, 443 establecimientos de salud y 1 357 instituciones educativas. Los departamentos con mayor población expuesta a riesgo muy alto por inundación son Apurímac (111 953 personas), Huancavelica (80 401) y Cusco (60 295).

Respecto al riesgo alto por inundaciones, a nivel nacional se estima un total de 12 822 centros poblados, que comprenden un total de 4 930 185 personas, 1 740 586 viviendas, 3 366 establecimientos de salud y 12 545 instituciones educativas (Tabla 4 y Figura 11). Los departamentos con mayor población expuesta a riesgo alto son Junín (824 187 personas), Arequipa (678 783 personas), Puno (604 155 personas) y Cusco (530 764 personas).

Figura 10. Escenario de Riesgos por Inundaciones ante el pronóstico de lluvias para el verano 2026



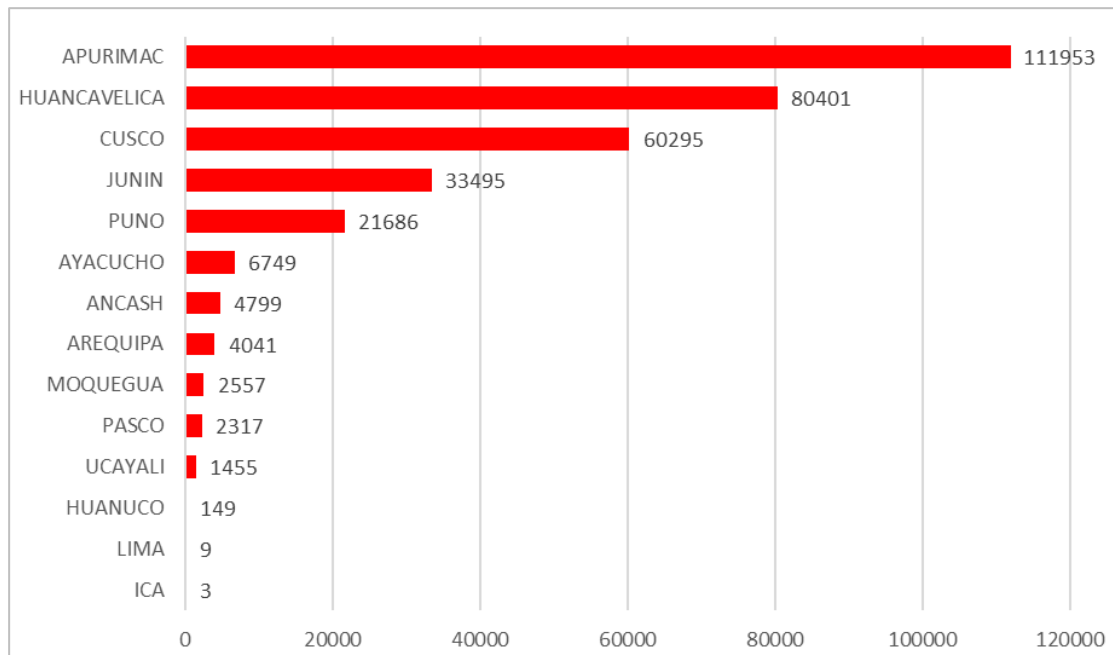
Fuente: CENEPRED

Tabla 4. Riesgo Muy Alto y Alto a inundaciones para el verano 2026, por departamentos.

Nivel de riesgo	MUY ALTO					ALTO					
	Departamento	Centros poblados	Población	Viviendas	Establec. Salud	Instituc. Educativas	Centros poblados	Población	Viviendas	Establec. Salud	Instituc. Educativas
AMAZONAS							124	20281	6142	36	198
ANCASH	22	4799	1580		2	32	414	192355	62656	70	334
APURIMAC	329	111953	42268		141	372	547	55057	26187	83	334
AREQUIPA	72	4041	2587		7	25	645	678783	255948	508	1525
AYACUCHO	174	6749	3632		11	71	1682	298901	110985	256	902
CAJAMARCA							141	239581	68772	267	400
CALLAO										5	11
CUSCO	532	60295	26687		161	377	2382	530764	189591	356	1226
HUANCAVELICA	186	80401	30737		61	187	252	25473	10265	20	102
HUANUCO	8	149	70		2	6	174	20484	8494	24	125
ICA	1	3	5				278	330832	115638	155	455
JUNIN	80	33495	13723		19	68	710	824187	267224	459	1665
LA LIBERTAD							129	91786	26322	18	101
LAMBAYEQUE							118	52182	17064	14	64
LIMA	8	9	10				120	16721	6808	34	97
LORETO							759	116028	28858	121	1114
MADRE DE DIOS							133	26733	10103	35	119
MOQUEGUA	104	2557	1881		9	26	101	3655	2061	6	21
PASCO	89	2317	740		9	24	765	114253	41625	138	429
PIURA							176	368199	110980	257	646
PUNO	361	21686	13133		17	161	2427	604155	276576	334	1844
SAN MARTIN							226	93683	29601	57	219
TACNA					4	8	75	2861	2019	6	14
TUMBES							30	18482	6939	10	52
UCAYALI	62	1455	776				414	204749	59728	97	548
Total	2 028	329 909	137 829		443	1 357	12 822	4 930 185	1 740 586	3 366	12 545

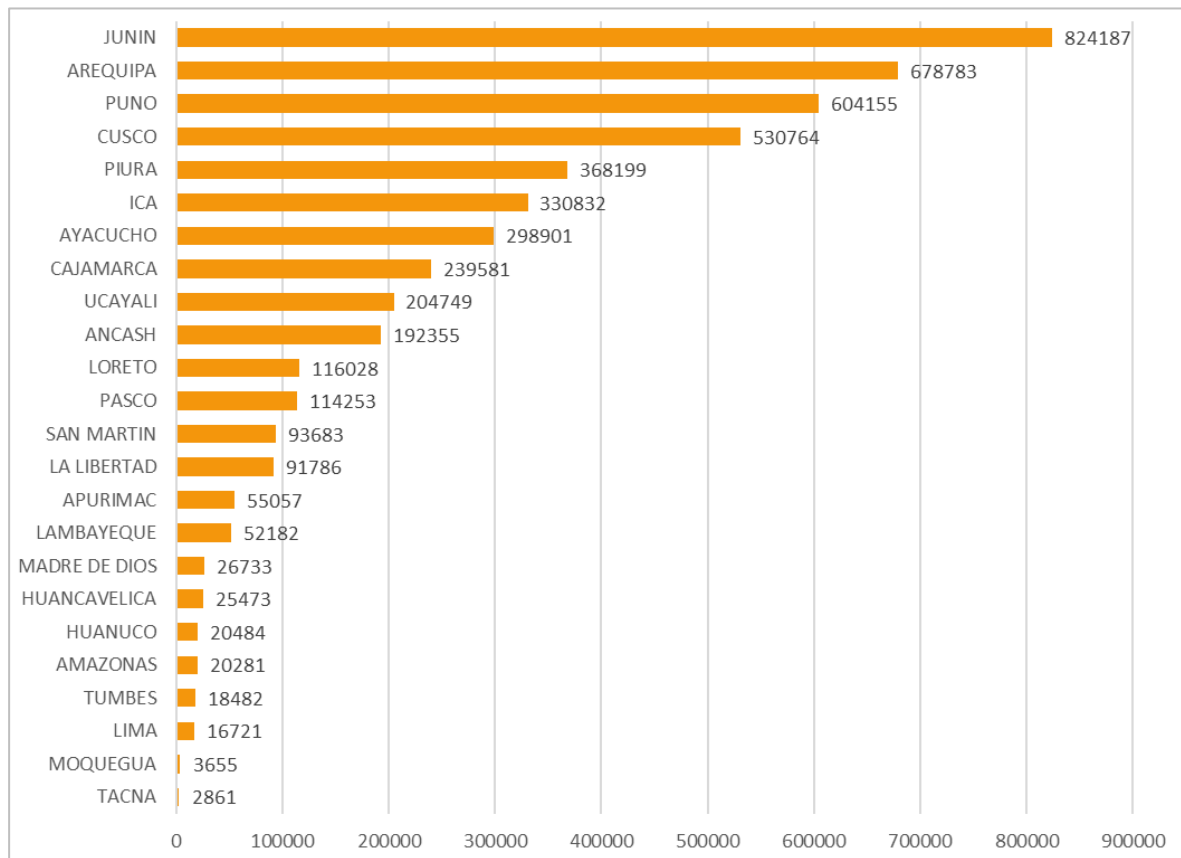
Fuente: CENEPRED. Basado en información de: INEI (Censo Nacional 2017), MINEDU (Escale, marzo 2024) y MINSA (RENIPRESS, marzo 2024).

Figura 11. Población en riesgo muy alto a inundaciones para el verano 2026, por departamentos



Fuente: CENEPRED.

Figura 12. Población en riesgo muy alto a inundaciones para el verano 2026, por departamentos



Fuente: CENEPRED.

7 CONCLUSIONES

- Frente a las perspectivas de lluvias para el verano 2026 (enero – marzo), se espera la ocurrencia de lluvias entre lo normal y sobre lo normal en la sierra centro oriental y sierra sur. En la costa y el resto del país, se mantendrían dentro de sus valores normales, sin descartar lluvias puntuales como parte de la variabilidad estacional. Considerando la estacionalidad climática, la presencia de lluvias de normal a superior a lo normal conlleva la probabilidad de ocurrencia de desbordes o inundaciones. No obstante, se debe tener en cuenta el nivel significativo de incertidumbre debido al tiempo de anticipación de dicho pronóstico.
- La perspectiva de lluvias por encima de lo normal en la sierra centro oriental y sierra sur para los meses de verano 2026, prevé una situación favorable para un mayor aporte hídrico en las cuencas colectoras de los principales embalses de esta zona.
- La existencia de puntos y zonas críticas por inundaciones y movimientos en masa en el ámbito nacional, identificadas por la ANA y el INGEMMET, muestran la ubicación de muchos centros urbanos en lugares altamente susceptibles a la ocurrencia de estos peligros, lo cual genera una situación de riesgo a la población, así como a sus medios de vida, además de un conjunto de infraestructura prestadoras de servicios básicos como son la salud y la educación.

- Ante las perspectivas del escenario de lluvias para verano 2026, se ha identificado un total de 31 395 centros poblados con probabilidad de riesgo muy alto frente a la posible ocurrencia de movimientos en masa, los cuales comprenden un total de 1 784 104 personas, 864 815 viviendas, 1 647 establecimientos de salud y 10 655 instituciones educativas, distribuidos a nivel nacional. Asimismo, se estima un total de 26 200 centros poblados con un nivel de riesgo alto, donde se encuentran 2 237 488 personas, 963 113 viviendas, así como 2 230 establecimientos de salud y 11 523 instituciones educativas expuestos ante este tipo de peligro.
- Asimismo, para el escenario de lluvias para el verano 2026, se estima 2 028 centros poblados que estarían expuestos a un riesgo muy alto frente a la posible ocurrencia de inundaciones, con 329 909 personas, 137 829 viviendas, 443 establecimientos de salud y 1 357 instituciones educativas. Así como, se estima un total de 12 822 centros poblados, que comprenden 4 930 185 personas, 1 740 586 viviendas, 3 366 establecimientos de salud y 12 545 instituciones educativas, que estarían expuestos a un riesgo alto frente a la posible ocurrencia de inundaciones en el ámbito nacional.

8 RECOMENDACIONES

- La Comisión Multisectorial del ENFEN continúe monitoreando e informando sobre la evolución de las condiciones oceánicas y atmosféricas y actualizando sus perspectivas sobre los eventos El Niño / La Niña, de manera frecuente.
- El Servicio Nacional de Meteorología e Hidrología (SENAMHI) continúe monitoreando los pronósticos de lluvias para los próximos meses comprendidos durante el periodo lluvioso y remita oportunamente dicha información a fin que, este Centro Nacional elabore los escenarios de riesgo correspondientes.
- La Autoridad Nacional del Agua (ANA) continúe desarrollando las fichas técnicas de identificación de puntos críticos por inundación y activación de quebradas, y el INGEMMET la identificación de zonas críticas por peligros geológicos, así como las recomendaciones de implementación de medidas estructurales para reducir los riesgos en dichos lugares.
- Difundir los resultados del presente estudio entre los gobiernos regionales y locales, con énfasis en aquellos que presentan áreas de mayor susceptibilidad a la ocurrencia de movimientos en masa e inundaciones.
- A los gobiernos regionales y locales, priorizar sus zonas de intervención con relación a los resultados obtenidos en los escenarios de riesgo presentados, tanto para movimientos en masa como inundaciones.

ANEXO

Elementos expuestos a inundaciones y movimientos en masa